



Boletín Semanal Oceanográfico y Biológico-Pesquero

Año 11, N° 11

Semana 11: 09 - 15 de marzo de 2026

RESUMEN

» En la región Niño 1+2, la anomalía de la temperatura superficial del mar (TSM) aumentó levemente hasta $+1,24\text{ }^{\circ}\text{C}$ y en la región Niño 3.4 ascendió a $-0,08\text{ }^{\circ}\text{C}$ (Figura 1). La presión a nivel del mar frente a la costa peruana mantuvo valores propios de la temporada, mientras que el Anticiclón del Pacífico Sur (APS), se mantuvo desplazado al oeste de su posición habitual (Figura 2). La velocidad del viento (VV) varió entre el rango moderado a fuerte, con anomalías positivas, del sudeste, que fueron predominantes en el sector oceánico y frente a la costa norte (Figura 3). Esto favoreció al repliegue hacia Cabo Blanco de las Aguas Tropicales Superficiales (SSM $< 33,8$) y la disminución de la cobertura de las anomalías térmicas de $+2\text{ }^{\circ}\text{C}$ en el sector costero entre Talara y Chicama (Figura 4b), mientras que, en sectores oceánicos, el área con estas anomalías se expandió hacia el ecuador geográfico, determinando un incremento de la TSM en hasta $1,8\text{ }^{\circ}\text{C}$ (Figuras 1b, 5b). Este último se tradujo en un nuevo ascenso de la cobertura de la ola de calor marina (OCM) dentro de las 150 mn, a unos $100,000\text{ km}^2$ el 14 de marzo (Figura 7). Dentro de las 60 mn costeras, al sur de Chicama, continuaron predominando vientos débiles y la propagación de la onda Kelvin cálida a lo largo de la costa, favoreciendo a la disipación de las condiciones frías frente a la costa central (Figuras 6 b, c y d) y su repliegue hacia las 20 mn entre Pisco e Ilo, sector donde prevalecieron las aguas costeras frías ($34,8 < \text{SSM} < 35,1$) con TSM menor a $20\text{ }^{\circ}\text{C}$ (Figuras 4 y 12 b).

» La información recolectada por el IMARPE a bordo del "Crucero de Evaluación Hidroacústica de la anchoveta 2602-03", desde Chimbote hasta Cerro Azul, a nivel superficial (Figura 10), indicó condiciones entre neutras y cálidas de $+1\text{ }^{\circ}\text{C}$, asociadas a una amplia cobertura de las Aguas Subtropicales Superficiales (SSM $> 35,1$) y el repliegue de las ACF dentro de las 40 mn desde Supe a Pucusana; sector donde además, se detectaron zonas con alta concentración de oxígeno ($> 7\text{ ml/L}$) asociadas a la presencia de una floración algal ('marea roja'), distribuida dentro de una franja de 30 mn, relativamente homogénea y con una marcada coloración verdosa entre el 11 y 15 de marzo (Figura 9). Las anomalías cálidas de $+1\text{ }^{\circ}\text{C}$, se presentaron en una capa muy somera dentro de las 70 mn de Callao y por fuera de 50 mn de Punta Bermejo, así como entre los 250 y 500 m. Por debajo de la capa superficial y hasta los 100 m (Punta Bermejo) y 80 m (Callao) predominaron anomalías frías de hasta $-1,5\text{ }^{\circ}\text{C}$ (Figura 8). Hacia el norte, los perfiladores ARGO a 68 mn de Huanchaco (11/03) y 80 mn de Punta Chao (12/03), evidenciaron el calentamiento de la columna sobre los 25 m con anomalías de hasta $+3\text{ }^{\circ}\text{C}$ y la influencia de las Aguas Ecuatoriales Superficiales (SSM $< 34,8$), así como la profundización de las isotermas, señalando el paso de la Onda Kelvin cálida en la columna de agua frente a la costa centro del Perú (Figuras 11 y 6b).

» En la región sur, la disponibilidad del recurso anchoveta *Engraulis ringens* se restringió a la zona entre Mollendo e Ilo dentro de las 10 mn y con predominio de juveniles; sector donde persiste un pequeño núcleo frío de $-2,4\text{ }^{\circ}\text{C}$. La anomalía del factor de condición (AFC) de la anchoveta mantuvo un valor negativo de efecto moderado, lo cual indicó una condición somática menor a la esperada para la temporada (Figura 12).

PRONÓSTICO

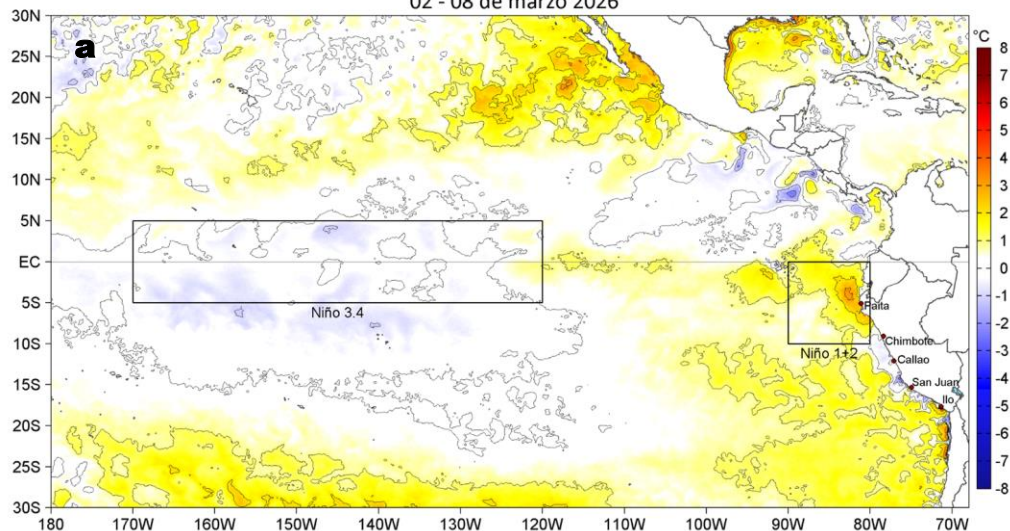
» De acuerdo con el modelo MERCATOR, en la región Niño 1+2 se espera una ligera disminución de las anomalías positivas de TSM, hasta alcanzar $+1,0\text{ }^{\circ}\text{C}$ para el 25 de marzo (Figura 13).

» Del 17 al 22 de marzo del 2026, se prevé que la VV se mantenga entre los rangos moderado y fuerte en el sector oceánico frente a la mayor parte de la costa entre Paita y Atico. Hasta el 19 de marzo en el sector oceánico centro-sur, se prevén anomalías negativas de VV, mientras que, en el sector oceánico norte y a lo largo de la franja costera se espera que continúen las anomalías positivas de VV. A partir del 20 de marzo estas anomalías positivas de la VV ampliarían su cobertura, hasta predominar frente a la gran parte de la costa peruana el 22 de marzo (Figura 14).

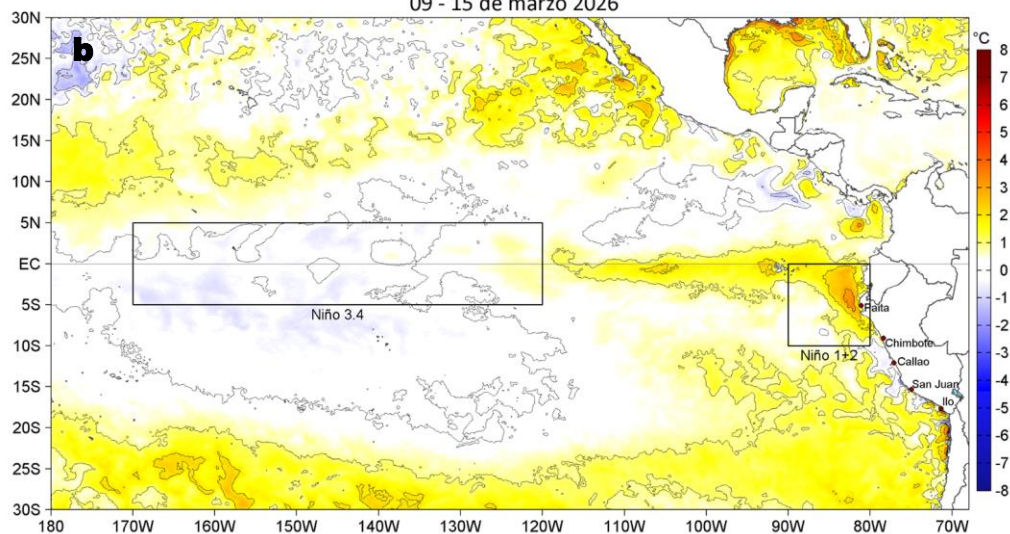
» Las observaciones y el modelo de ondas Kelvin ecuatoriales indican que continúa la propagación de una onda Kelvin cálida a lo largo de la costa, la cual sería sucedida por el arribo de una onda Kelvin fría entre fines de marzo y abril y nuevas ondas Kelvin cálidas en abril/mayo (Figuras 6 a, b y 15).



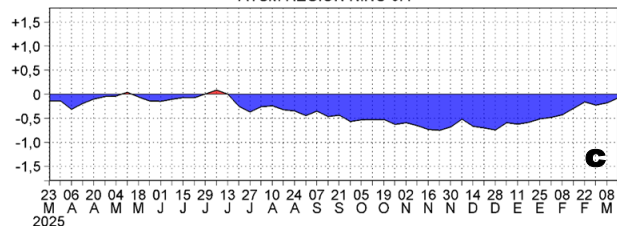
Anomalías de la Temperatura Superficial del Mar (°C)
02 - 08 de marzo 2026



Anomalías de la Temperatura Superficial del Mar (°C)
09 - 15 de marzo 2026



ATSM REGION NIÑO 3.4



ATSM REGION NIÑO 1+2

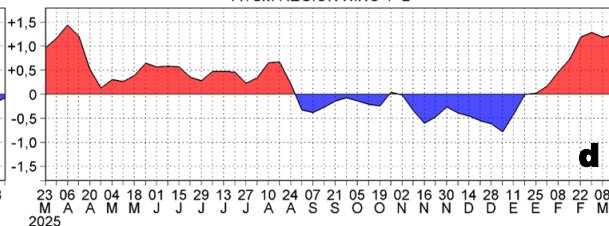


Figura 1. Anomalías promedio de la temperatura superficial del mar (TSM, °C) en el océano Pacífico tropical del 02 al 08 de marzo (a) y del 09 al 15 de marzo (b) del 2026, así como la variación del promedio semanal durante el último año para la región Niño 3.4 (c) y la región Niño 1+2 (d). Las regiones Niño 3.4 y Niño 1+2 en los sectores central y oriental del océano, respectivamente, están delimitadas con una línea de color gris. Datos: OSTIA-UKMO-L4-GLOB-v2.0 (UK Met Office, 2012; Donlon et al, 2012). Climatología: 1991-2020.

Presión atmosférica, 09 - 14/03/2026

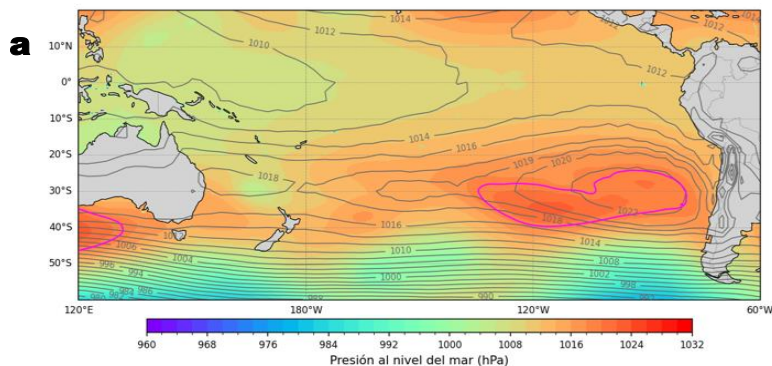
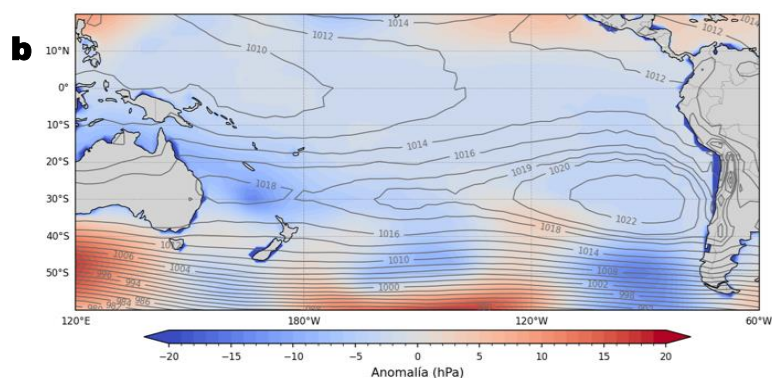


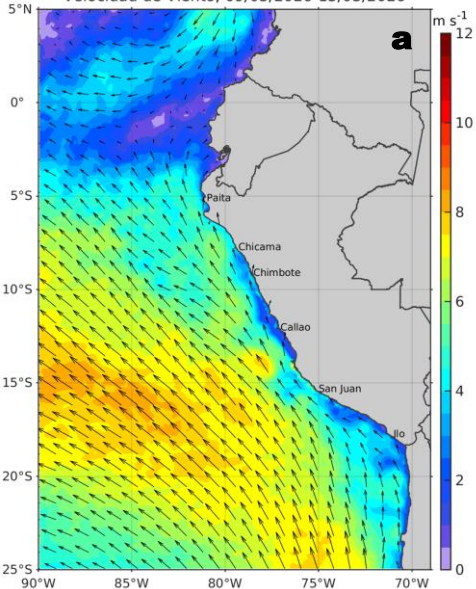
Figura 2. Distribución espacial promedio de la: a) Presión atmosférica (hPa) y b) anomalías de la Presión atmosférica (hPa) en el Pacífico Tropical del 09 al 14 de marzo del 2026.

Fuente de los datos: NCEP/NOAA. Climatología: 1991-2020.

Anomalía de la Presión atmosférica, 09 - 14/03/2026



Velocidad de Viento, 09/03/2026-15/03/2026



Anomalía de VV, 09/03/2026-15/03/2026

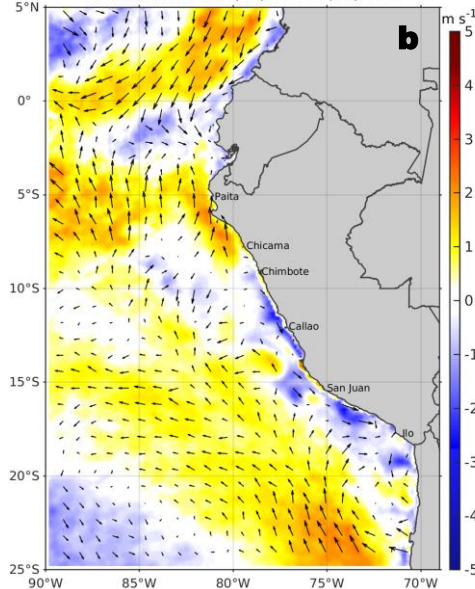


Figura 3. Distribución espacial promedio de: a) la velocidad (m/s) y dirección del viento (°) y b) anomalías de la velocidad (m/s) y dirección del viento (°) frente a la costa peruana del 09 al 15 de marzo del 2026. La velocidad del viento y su anomalía se presentan en matices de colores a la derecha. La dirección del viento y su anomalía se presentan con flechas. Fuente de los datos: CMEMS. Climatología: 2000-2020.

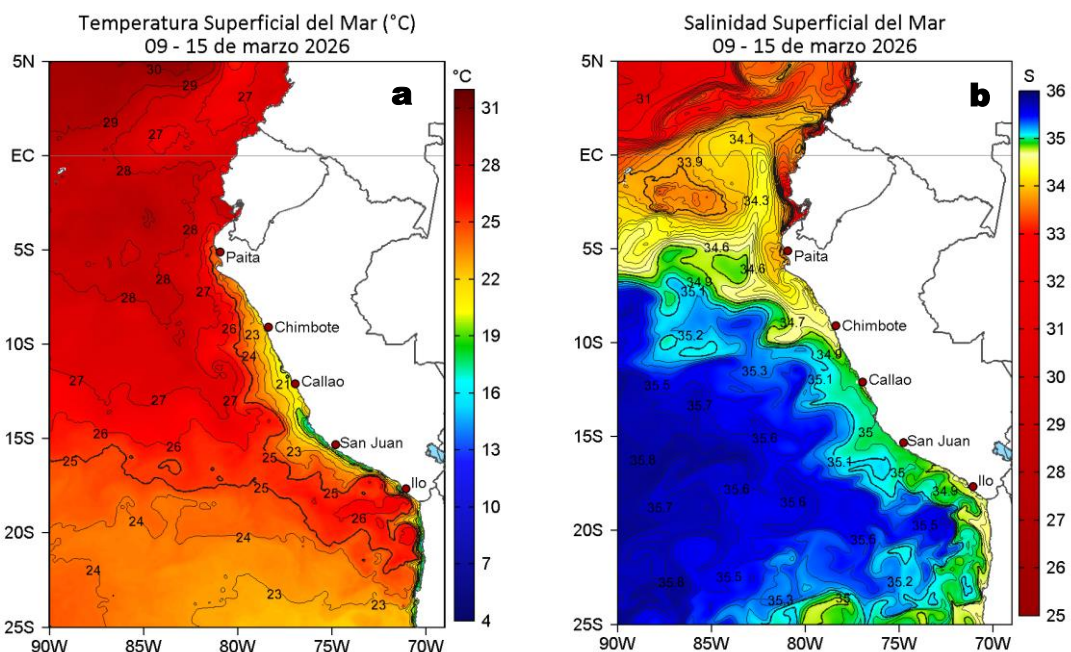


Figura 4. Distribución espacial promedio de la: a) Temperatura superficial del Mar (TSM, °C) y b) Salinidad superficial del mar (SSM) del 09 al 15 de marzo del 2026. Datos: OSTIA-UKMO-L4-GLOB-v2.0 (UK Met Office, 2012; Donlon et al, 2012) para (a) y del GLOBAL_ANALYSISFORECAST_PHY_001_024 (Lellouche, J. M. et al, 2013) para (b).

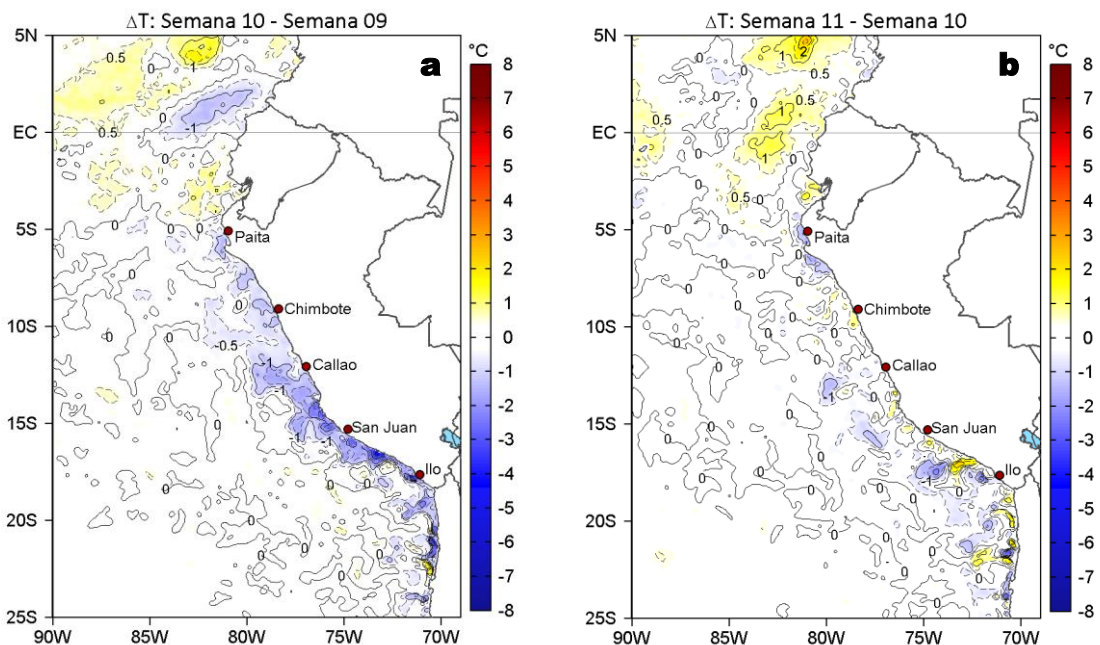


Figura 5. Variación semanal de la TSM (°C) en el océano Pacífico tropical oriental entre: a) décima (02 - 08 de marzo) y novena (23 de febrero - 01 de marzo) semana de 2026 y b) décimo primera (09 - 15 de marzo) y décima (02 - 08 de marzo) semana de 2026. Los mapas, que indican el grado de calentamiento o enfriamiento de una semana a otra, provienen de OSTIA-UKMO-L4-GLOB-v2.0 (UK Met Office, 2012; Donlon et al, 2012).

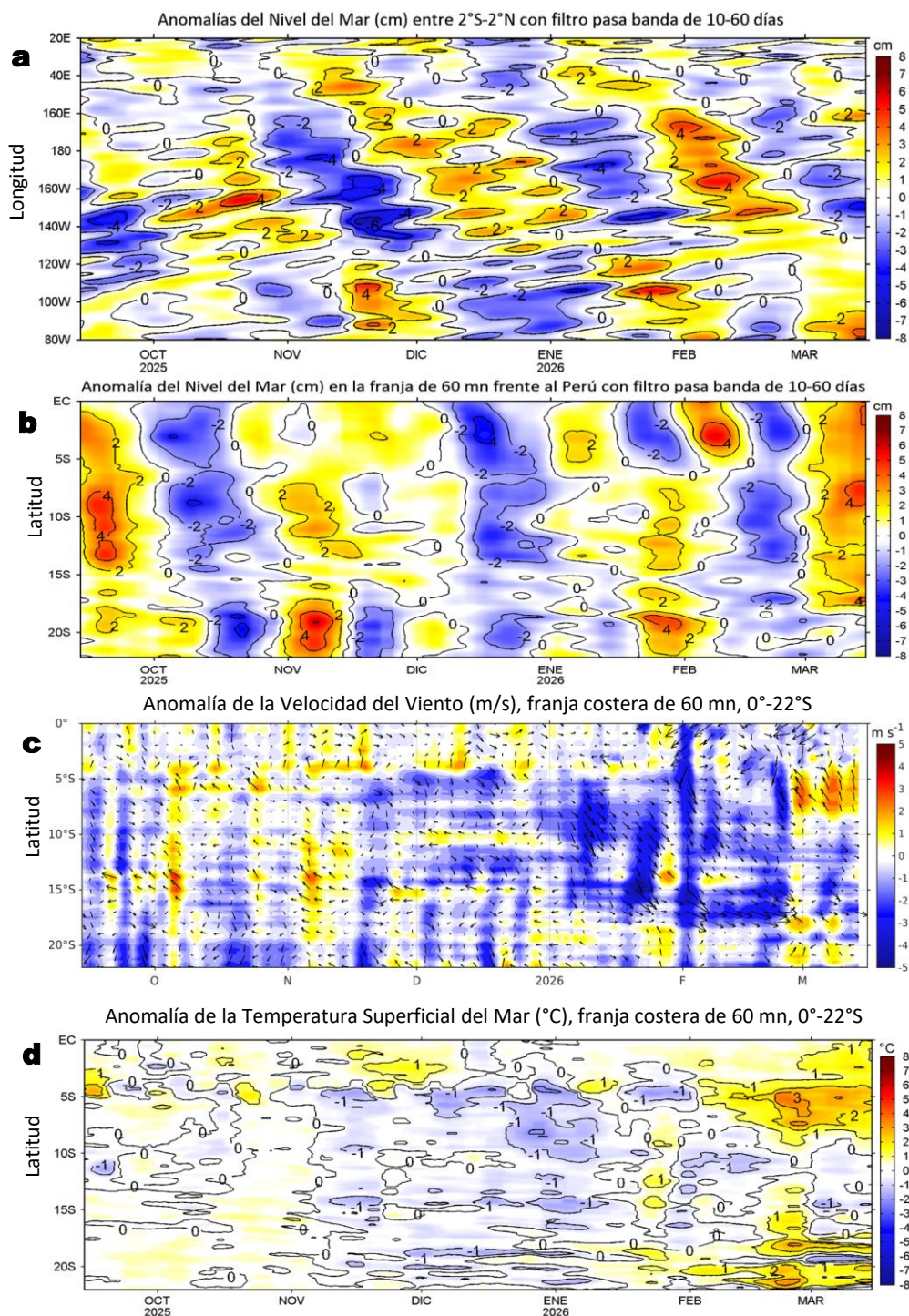
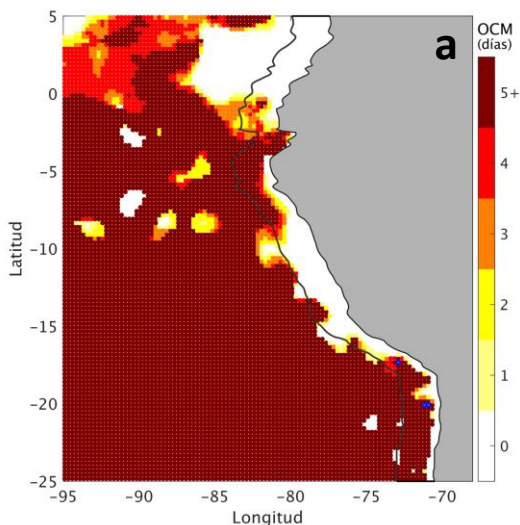


Figura 6. Evolución diaria de a) las anomalías del nivel del mar (cm) con filtro pasa banda de 10-60 días para la franja de 2°S-2°N en el Pacífico ecuatorial y b) la franja de 60 mn adyacente a la costa entre el ecuador geográfico y 22°S, así como para las anomalías de la c) velocidad del viento (m/s) y d) temperatura superficial del mar (°C); actualizadas al 15 de marzo del 2026. Datos: CMEMS (a, b y c) y OSTIA-UKMO-L4-GLOB-v2.0 para (d). Climatología: 1993-2020 (a y b), 2000-2020 (c) y 1991-2020 (d).

Ola de Calor Marina (OCM)
14 de marzo del 2026



Indicadores de la Ola de Calor Marina (OCM)
4°S - 18,5°S, en las 150 mn costeras,
11 de enero - 14 de marzo del 2026

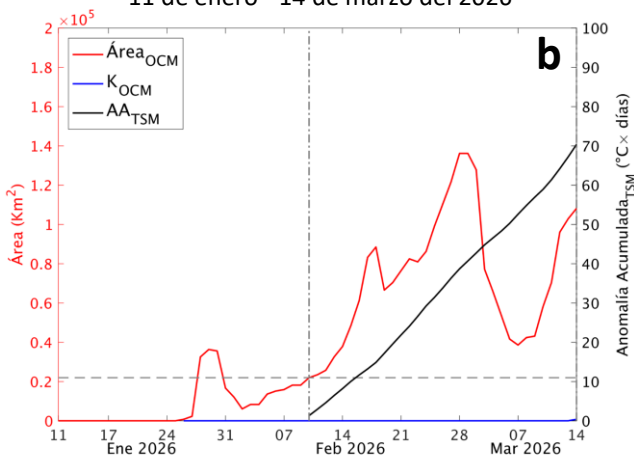


Figura 7. a) Distribución espacial de la cobertura de la ola de calor marina (OCM, Hobday et al., 2016) entre los 5°N y 25°S, y 70° W y 95°W para el 14 de marzo del 2026; la línea paralela a la costa demarca la distancia de 150 mn y la escala de color indica el número de días en los cuales la TSM supera el percentil 90 de los datos diarios históricos, usando el período 1982-2011 como referencia (Pietri et al., 2021). b) Series de tiempo de los indicadores de OCM para la zona entre los 4°S y 18,5°S dentro de las 150 mn costeras: área en condición de OCM (Área_{OCM} , $\times 10^4 \text{ Km}^2$; rojo); área en condición de OCM donde la ATSM > +4 °C (K_{OCM} , Km^2 ; azul); y anomalía térmica acumulada en el área (AATSM, °C x días; negro). Al 14 de marzo, la condición de OCM presenta una anomalía acumulada de 70,34 °C x días. Fuente: OISST 2.1.

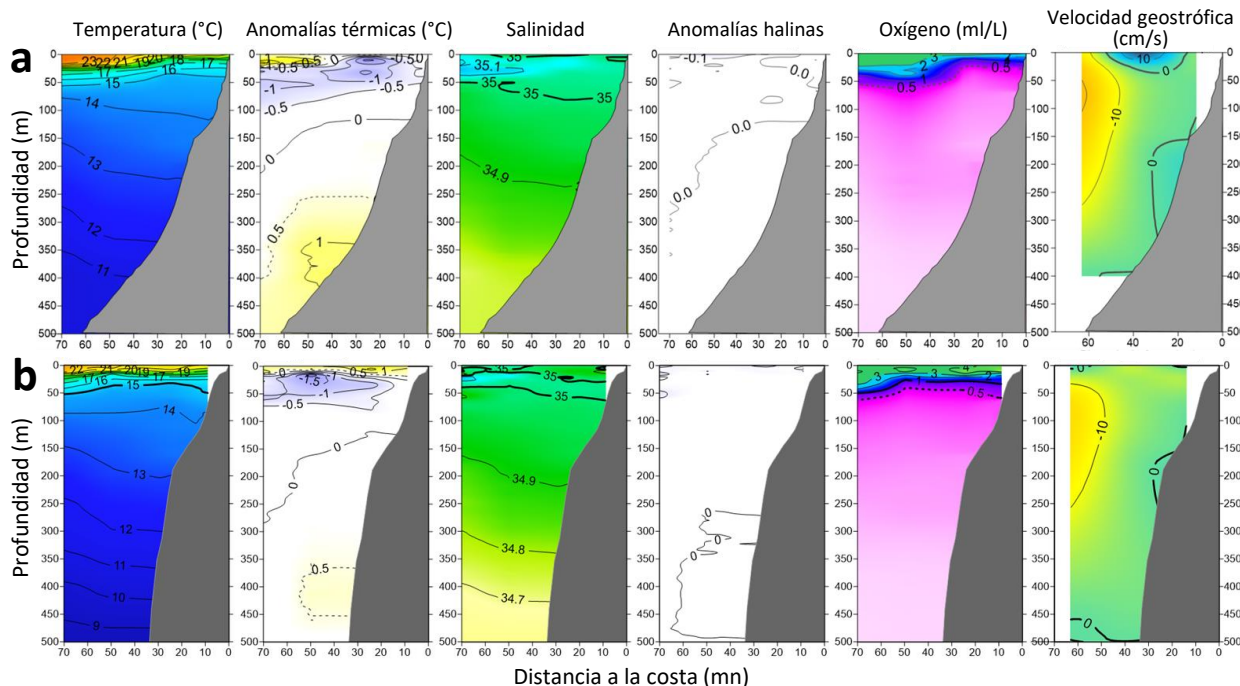


Figura 8. Estructura vertical de la: temperatura (°C), anomalías térmicas (°C), salinidad, anomalías halinas, oxígeno disuelto (ml/L) y velocidad geostrofica (cm/s); registradas en la sección oceanográfica frente a) Punta Bermejo (09-10 marzo) y b) Callao (12 de marzo), durante el Crucero de Evaluación Hidroacústica de la anchoveta, a bordo del BIC Humboldt. Climatología: 1991-2020 (Domínguez et al (2023)).

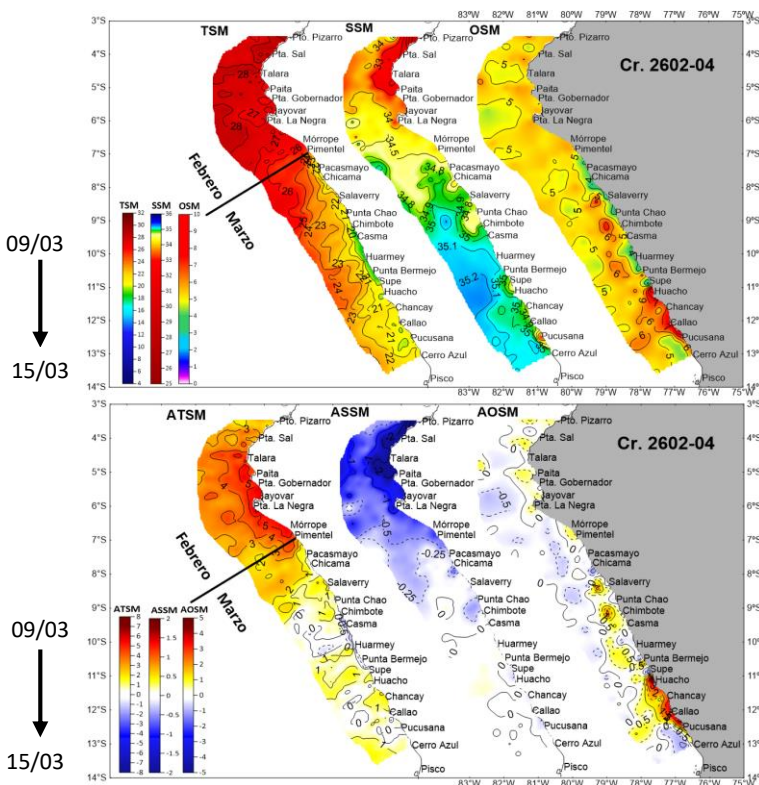
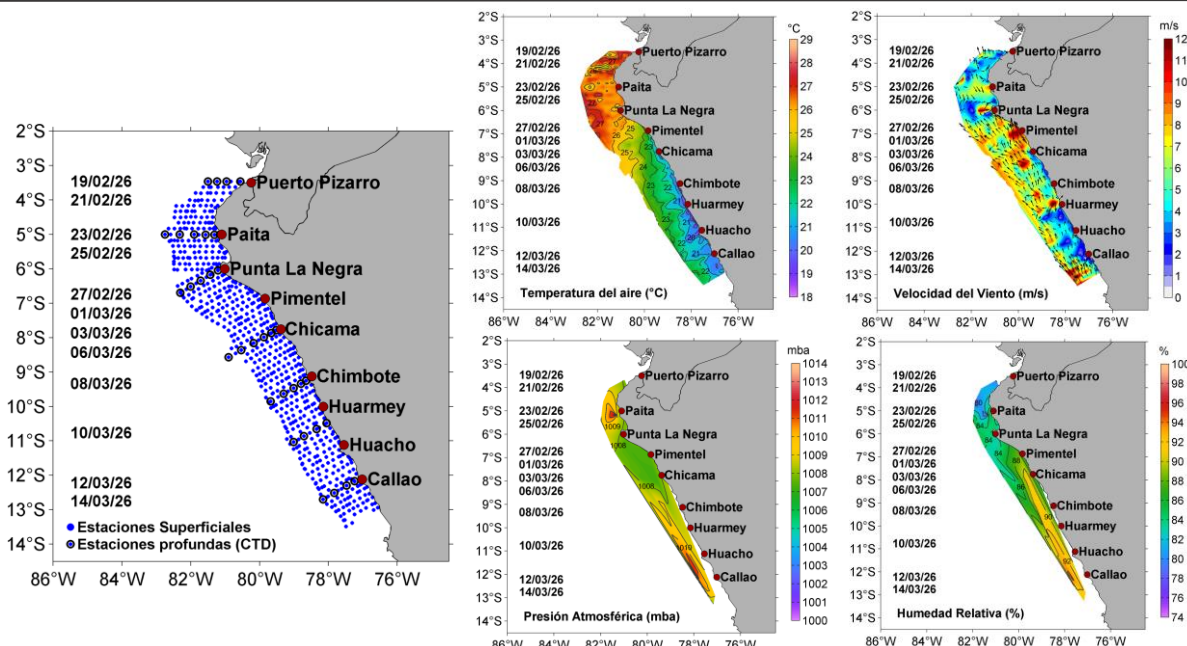


Figura 9. Floración algal (mareas rojas) registrada entre Supe y Callao durante el Crucero de Evaluación Hidroacústica de la anchoveta entre el 11 y 15 de marzo, a bordo del BIC Humboldt.

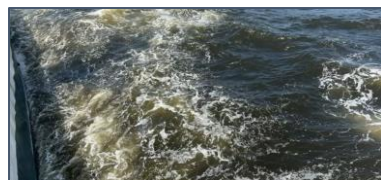


Figura 10. Distribución de la: temperatura del aire (°C), velocidad del viento (m/s), presión atmosférica (mba), humedad relativa (%). Distribución a nivel superficial de la temperatura (°C, TSM), anomalías térmicas (°C, ATSM), salinidad (SSM), anomalías halinas (ASSM), oxígeno (ml/L, OSM) y anomalías de oxígeno (ml/L, AOSM); registradas entre Puerto Pizarro y Cerro Azul durante el Crucero de Evaluación Hidroacústica de la anchoveta entre el 19 de febrero y 15 de marzo, a bordo del BIC Humboldt y el BIC Flores. Climatología: 1991-2020 (Dominguez et al (2023)).

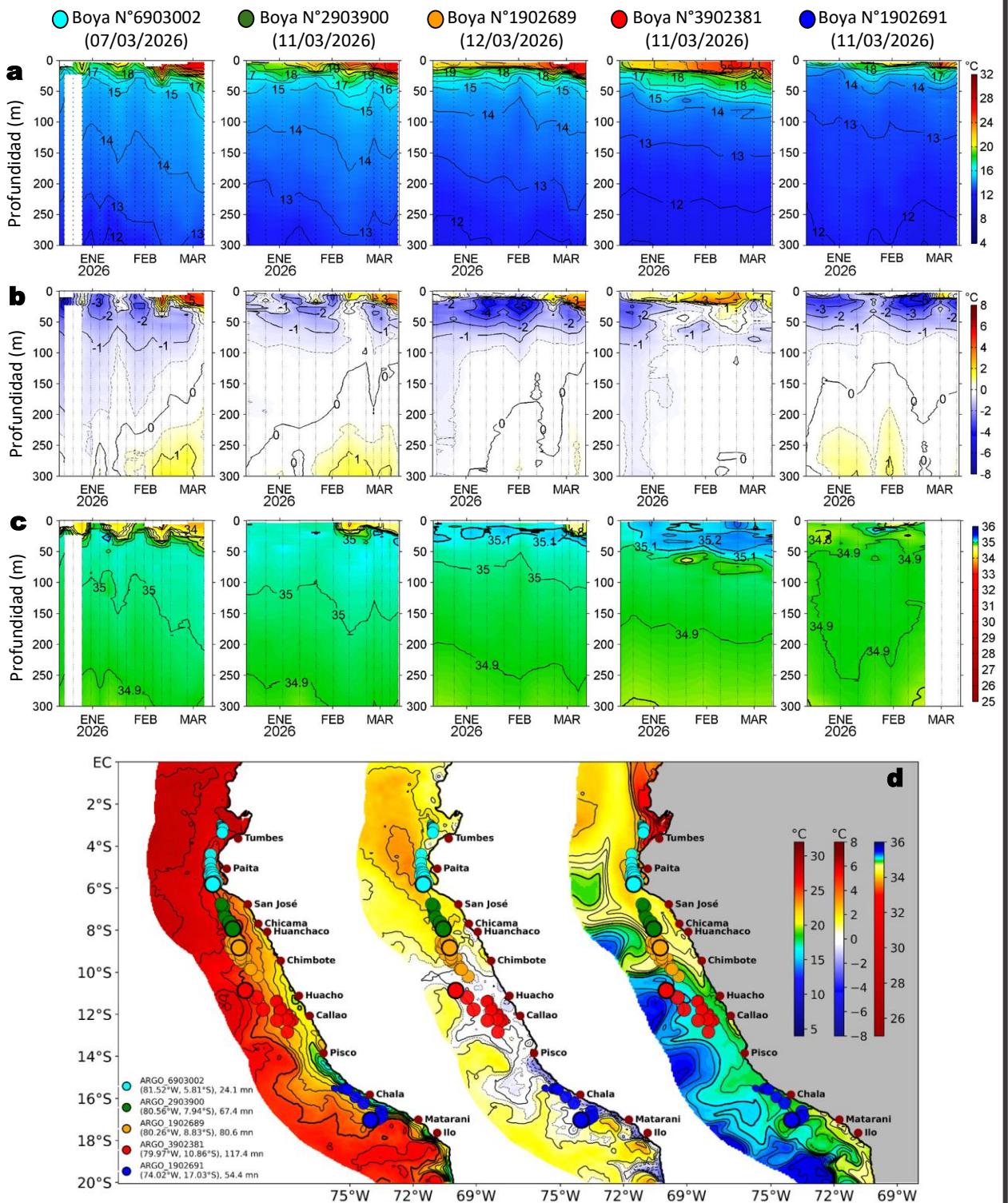


Figura 11. Diagrama Hovmöller de la: a) Temperatura del mar (°C), b) Anomalías térmicas (°C), c) Salinidad del mar registrados por los perfiladores ARGO frente a la costa peruana (d) durante los últimos 90 días. Los puntos en la columna de agua indican los días en que los perfiladores registraron información. Datos: ARGO. Climatología: 1991-2020 (Dominguez et al (2023)).

ASPECTOS BIOLÓGICO-PESQUEROS

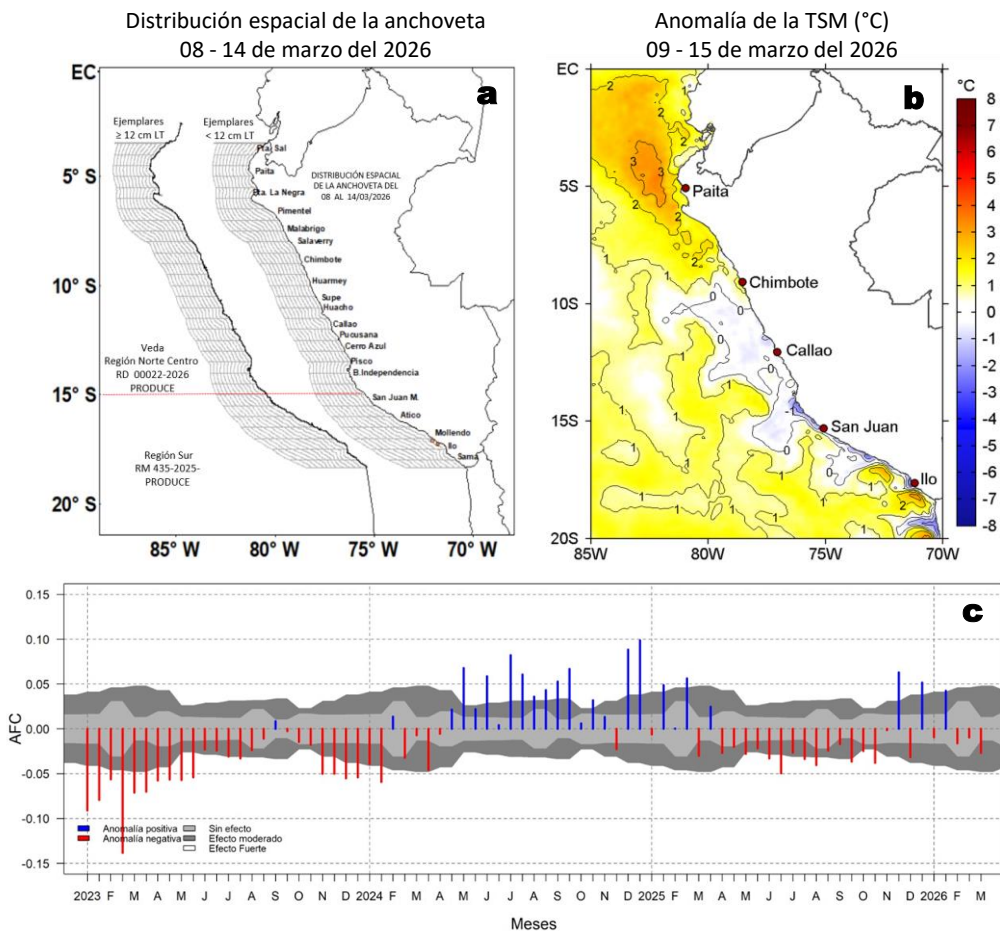


Figura 12. a) Distribución espacial de la anchoveta por región y su relación con b) las anomalías térmicas (°C) obtenidas del producto OSTIA-UKMO-L4-GLOB-v2.0; para la semana del 09 al 15 de marzo del 2026. c) Serie de tiempo de las Anomalías del índice del factor de condición (AFC) de la anchoveta peruana *Engraulis ringens* (Cuba et al., 2019) desde enero 2023 hasta marzo del 2026. Climatología: 1991-2020 (b).

PRONÓSTICO

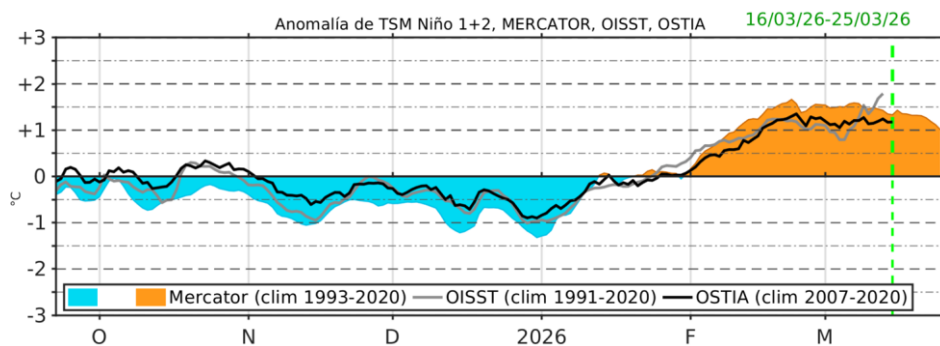


Figura 13. Series de tiempo de la anomalía de TSM diaria en la región Niño 1+2, obtenidas a partir del modelo MERCATOR (sombreado celeste y naranja), el producto OISST (línea gris) y el producto OSTIA (línea negra), a partir del promedio climatológico de 1993-2020, 1991-2020 y 2007-2020, respectivamente. La línea discontinua vertical de color verde indica la fecha de inicio del pronóstico de las anomalías de TSM según MERCATOR.



PERÚ

Ministerio de la Producción



PREMIO 2018 BUENAS PRÁCTICAS EN GESTIÓN PÚBLICA

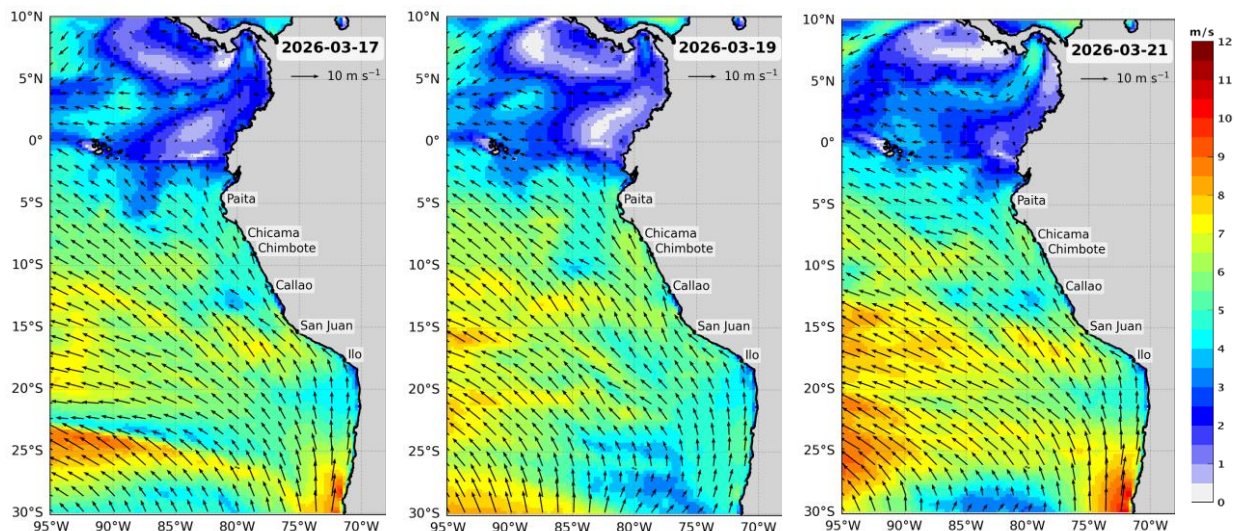


DGIOCC Dirección General de Investigaciones en Oceanografía y Cambio Climático



DGIRP Dirección General de Investigaciones de Recursos Pelágicos

Velocidad del Viento (VV, m/s) y Dirección del viento (DV, °)



Anomalia de la Velocidad del Viento (VV, m/s) y Dirección del viento (DV, °)

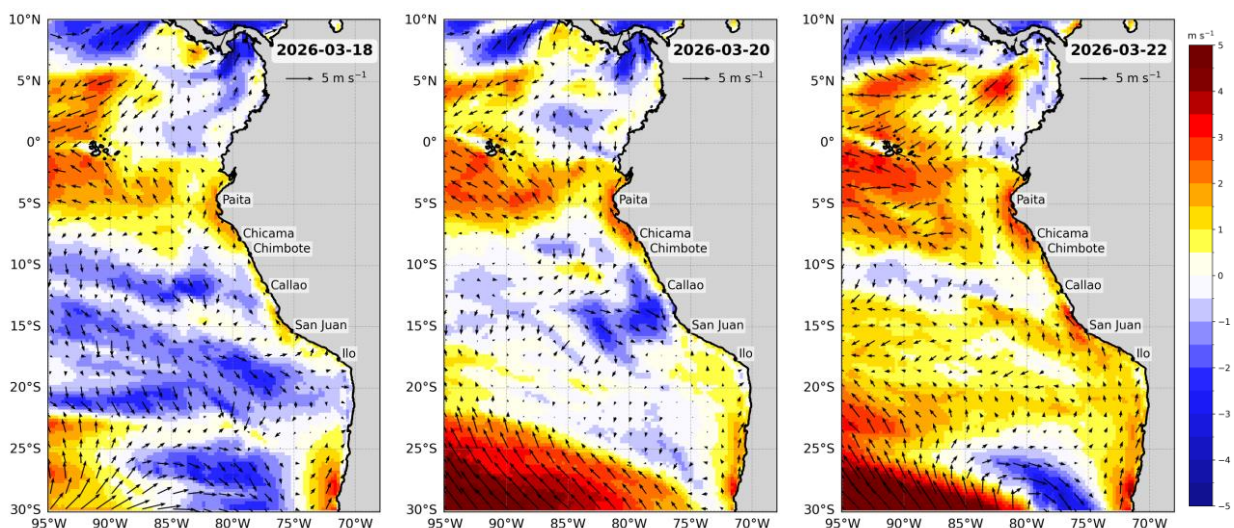


Figura 14. Distribución espacial del pronóstico de la velocidad del viento (VV, m/s) y dirección del viento (DV, °) para los días a) 17, b) 19 y c) 21 de marzo de 2026, así como para sus anomalías para los días a) 18, b) 20 y c) 22 de marzo de 2026, frente a la costa sudamericana entre Centroamérica y la costa norte de Chile. Fuente: Modelo Climate Forecast System (GFS) de la NOAA. Climatología: 2000-2020.

Escala de vientos: Vientos muy débiles (< 0,7 m/s), débiles (0,7 a 4,1 m/s), moderados (4,1 a 6,8 m/s), fuertes (6,8 a 10,4 m/s), muy fuertes (> 10,4 m/s); de acuerdo a Correa, Vásquez y Gutiérrez (2018).

Condiciones iniciales: 11 - 14 de marzo, 2026.

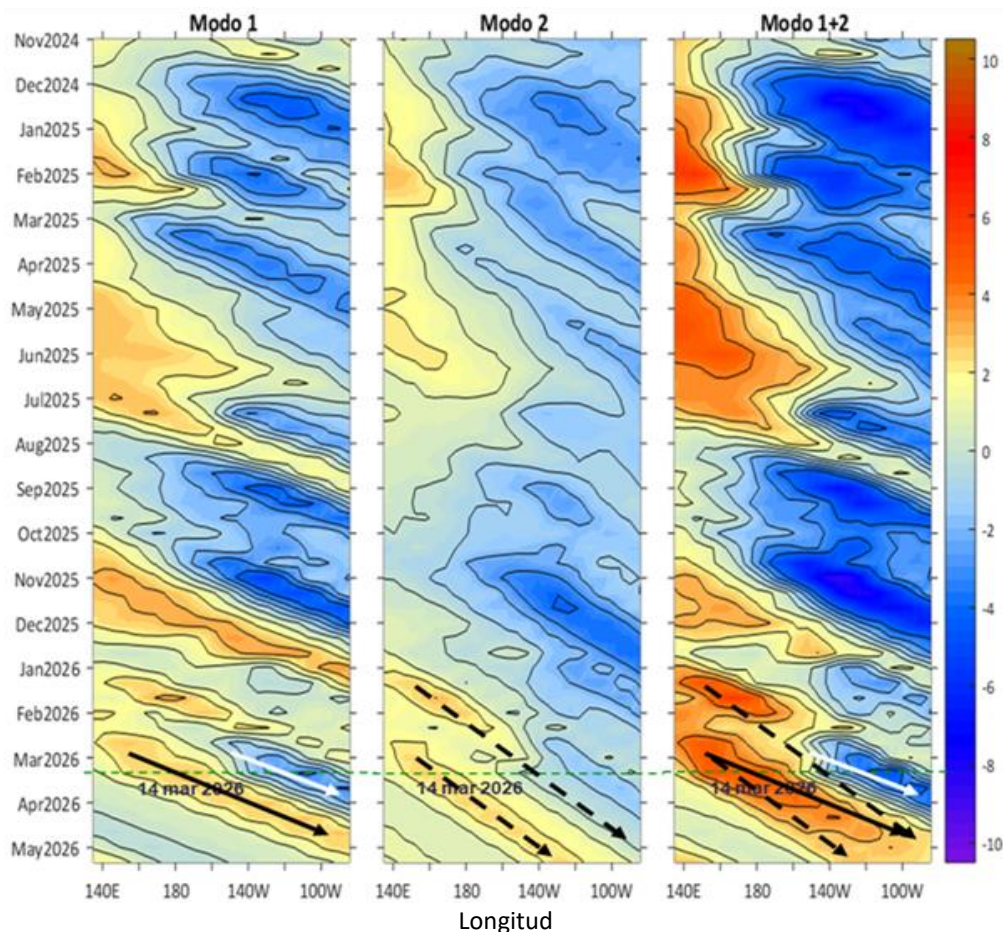


Figura 15. Diagramas Hovmöller longitud-tiempo de las ondas Kelvin (OK) ecuatoriales en el océano Pacífico ecuatorial entre 130°E y 95°W y en la banda entre 1°N-1°S, forzado con anomalías del esfuerzo del viento (N/m^2) del NCEP (Kalnay et al., 1996) de acuerdo con la metodología de Illig et al. (2004) y Dewitte et al. (2002): a) Modo 1, b) Modo 2 y c) Modos 1+2. La línea discontinua horizontal de color verde indica la fecha del inicio del pronóstico con anomalías del esfuerzo del viento igual a cero. Los valores negativos corresponden a ondas Kelvin de afloramiento (frías) y están representadas por flechas discontinuas de color blanco. Los valores positivos corresponden a ondas Kelvin de hundimiento (cálidas) cuya propagación está representada por flechas de color negro sólido (modo 1) y discontinuo (modo 2). Datos del modelo: LMOECC/AFIOF/DGIOCC/IMARPE.

La última simulación del modelo de OK ecuatoriales, forzada con anomalías del esfuerzo del viento ecuatorial superficial obtenidas del NCEP al 14.03.2026, indica que, la OK ecuatorial fría (modo 1), mencionada en el BS OBP N° 09-2026, arribaría entre **marzo y abril**. Por otro lado, se prevé el arribo al extremo oriental del Pacífico ecuatorial entre **abril y mayo** de la OK ecuatorial cálida (modo 2), mencionada en el BS OBP N° 03-2026, la cual ha disminuido su intensidad debido a la persistencia de anomalías de vientos del este en el Pacífico ecuatorial central. Asimismo, la OK ecuatorial cálida (modo 1), mencionada en el BS OBP N°06-2026, que fue reforzada por las anomalías de vientos del oeste en el Pacífico ecuatorial occidental entre fines de febrero e inicios de marzo, continúa su propagación hacia el este y se espera su arribo entre **abril y mayo** de 2026. Finalmente, la otra OK ecuatorial cálida (modo 2), también generada por dichas anomalías, arribaría en **junio** de 2026.

REFERENCIAS

Correa, D.; Vásquez, L. y D. Gutiérrez (2018). Propuesta de escala de vientos para la zona costera y oceánica frente al Perú. Taller interno del IMARPE, 24 de septiembre de 2018.

Cuba, A., Sánchez, J., Mori, J., & Chávez, G. (2019). Anomalías de los índices reproductivos fracción desovante e índice gonadosomático de anchoveta peruana *Engraulis ringens* (Jenyns, 1842) del stock norte-centro del Perú en relación a El Niño Costero 2017. *The Biologist*, 17(2).

Dewitte B., D. Gushchina, Y. du Penhoat and S. Lakeev, 2002: On the importance of subsurface variability for ENSO simulation and prediction with intermediate coupled models of the Tropical Pacific: A case study for the 1997-1998 El Niño. *Geoph. Res. Lett.*, vol. 29, no. 14, 1666, 10.1029/2001GL014452.

Donlon, C. J, M. Martin, J. Stark, J. Roberts-Jones, E. Fiedler, W. Wimmer, 2012. The Operational Sea Surface Temperature and Sea Ice Analysis (OSTIA) system. *Remote Sen. Env.*, 116, 140-158.

ENFEN, 2024. Definición operacional de los eventos El Niño Costero y La Niña Costera en el Perú. Nota Técnica. <https://enfen.imarpe.gob.pe/download/nota-tecnica-enfen-01-2024-definicion-operacional-de-los-eventos-el-nino-costero-y-la-nina-costera-en-el-peru/?wpdmdl=1905&ind=1733921744133>

Hobday, A. J., Alexander, L. V., Perkins, S. E., Smale, D. A., Straub, S. C., Oliver, E. C. J., ... Wernberg, T. (2016). A hierarchical approach to defining marine heatwaves. *Progress in Oceanography*, 141, 227–238. doi:10.1016/j.pocean.2015.12.014

Illig, S., B. Dewitte, N. Ayoub, Y. du Penhoat, G. Reverdin, P. De Mey, F. Bonjean and G. S. E. Lagerloef, 2004: Interannual Long Equatorial Waves in the Tropical Atlantic from a High Resolution OGCM Experiment in 1981-2000, *Journal of Geophysical Research*, 109, C02022, doi:10.1029/2003jc001771.

Kalnay, E., M. Kanamitsu, R. Kistler, W. Collins, D. Deaven, L. Gandin, M. Iredell, S. Saha, G. White, J. Woollen, Y. Zhu, A. Leetmaa, B. Reynolds, M. Chelliah, W. Ebisuzaki, W. Higgins, J. Janowiak, K. Mo, C. Ropelewski, J. Wang, R. Jenne, and D. Joseph, 1996: The NCEP/NCAR 40-Year Reanalysis Project. *Bull. Amer. Meteor. Soc.*, 77, 437–471.

Kobayashi S, Ota Y, Harada Y, Ebata A, Moriya M, Onoda H, Onogi K, Kamahori H, Kobayashi C, Endo H, Miyaoka K, Takahashi K (2015) The JRA-55 reanalysis: general specifications and basic characteristics. *J Meteor Soc Jpn* 93: 5–48.

Lellouche, J.-M., Le Galloudec, O., Drévilion, M., Régnier, C., Greiner, E., Garric, G., Ferry, N., Desportes, C., Testut, C.-E., Bricaud, C., Bourdallé-Badie, R., Tranchant, B., Benkiran, M., Drillet, Y., Daudin, A., and De Nicola, C.: Evaluation of global monitoring and forecasting systems at Mercator Océan, *Ocean Sci.*, 9, 57-81, 2013.

Perea, A., B. Buitrón, J. Mori, J. Sánchez, C. Roque, 2015. Anomalías de los Índices reproductivos de anchoveta *Engraulis ringens* en relación al ambiente. En: *Boletín Trimestral Oceanográfico*, Volumen 1, Números 1-4, pp.: 27-28.

Pietri, A., Colas, F., Mogollon, R., J. Tam & D. Gutierrez. Marine heatwaves in the Humboldt current system: from 5-day localized warming to year-long El Niños. *Sci Rep* 11, 21172 (2021). <https://doi.org/10.1038/s41598-021-00340-4>

Quispe Ccallauri, C, J. Tam, H. Demarcq, C. Romero, D. Espinoza, A. Chamorro, J. Ramos, R. Oliveros, 2016. El Índice Térmico Costero Peruano. En: *Boletín Trimestral Oceanográfico*, Volumen 2, Número 1, pp: 7-11.

Quispe-Ccalluari C, Tam J, Arellano C, Chamorro A, Espinoza-Morriberón D, Romero C, Ramos J. 2015. Desarrollo y aplicación de índices y simulaciones para la vigilancia y el pronóstico a mediano plazo del impacto del ENOS frente a la costa peruana. *Inf. Inst. Mar Perú*, Vol. 44(1):28-34. <https://biblioimarpe.imarpe.gob.pe/handle/20.500.12958/3149>

Quispe, J. y L. Vásquez, 2015. Índice “LABCOS” para la caracterización de evento El Niño y La Niña frente a la costa del Perú, 1976-2015. En: *Boletín Trimestral Oceanográfico*, Volumen 1, Números 1-4, pp.: 14-18.



PERÚ

Ministerio
de la Producción



PREMIO 2018
BUENAS PRÁCTICAS
EN GESTIÓN PÚBLICA



RECONOCIMIENTOS

The Group for High Resolution Sea Surface Temperature (GHR SST) Multi-scale Ultra-high Resolution (MUR) Level 4 OSTIA Global Foundation Sea Surface Temperature Analysis (GDS version 2). Ver. 2.0 data were obtained from the NASA EOSDIS Physical Oceanography Distributed Active Archive Center (PO.DAAC) at the Jet Propulsion Laboratory, Pasadena, CA (<http://dx.doi.org/10.5067/GHGMR-4FJ01>).

The Ssalto/Duacs altimeter products were produced and distributed by the Copernicus Marine and Environment Monitoring Service (CMEMS) (<https://data.marine.copernicus.eu/products>).

The products from the MERCATOR OCEAN system distributed through the Marine Copernicus Service (<https://data.marine.copernicus.eu/products>).

Los datos de pronóstico del Global Forecast System (GFS) fueron producidos por los National Centers for Environmental Prediction (NCEP) de la National Oceanic and Atmospheric Administration (NOAA) y distribuidos a través del NOAA Operational Model Archive and Distribution System (NOMADS) (<https://nomads.ncep.noaa.gov>).

Las anomalías del índice de factor de condición fueron determinadas a partir de información brindada por el Laboratorio de Biología Reproductiva de la sede central de IMARPE.

Este boletín es una acción del Programa Presupuesto Por Resultados - PPR 068 El Niño “Reducción de Vulnerabilidad y Atención de Emergencias por Desastres” y su producto “Entidades Informadas en forma permanente y con pronósticos frente al Fenómeno El Niño” del IMARPE.

EQUIPO CIENTÍFICO

Dirección General de Investigaciones en Oceanografía y Cambio climático (DGIOCC):

Katherine Vásquez, Dimitri Gutiérrez, Daniel Camarena, Tony Anculle, José Vílchez, Carlos Quispe, Dante Espinoza, Sonia Sánchez y Gustavo Orihuela.

Dirección General de Investigaciones de Recursos pelágicos (DGIRP):

Javier Sánchez, Cecilia Roque, Dany Ulloa, Gabriela Cazorla y Cecilia Peña.

El Boletín Semanal Oceanográfico y Biológico-Pesquero (BS-OBP) presenta la evolución de variables físicas en el océano y la atmósfera, de la estructura físico-química del océano frente a la costa norte-centro del Perú en un contexto temporal de corto plazo y en un marco local-regional. El objetivo del BSOBP es comprender los efectos de la variabilidad de macroescala y regional de corto plazo en las condiciones oceanográficas y biológico-pesqueras del mar peruano. Esta información se sustenta en las redes observacionales in situ que administra el IMARPE y que se ha fortalecido en el marco del Programa Presupuesto Por Resultados - PPR 068 El Niño “Reducción de Vulnerabilidad y Atención de Emergencias por Desastres” y su producto “Entidades Informadas en forma permanente y con pronósticos frente al Fenómeno El Niño” del Estado Peruano. Asimismo, esta información local se complementa con un repertorio de productos satelitales y con mediciones directas de equipamiento de programas y proyectos internacionales con el fin de lograr un análisis integrado del estado del océano.

El BS-OBP, asimismo, pretende informar de forma oportuna y permanente sobre el estado del océano a diferentes grupos de interés y sociedad en general y contribuir a mejorar el conocimiento del mar peruano y coadyuvar a la gestión del riesgo de desastres del Estado Peruano.

IMARPE (2026). Boletín Semanal Oceanográfico y Biológico-Pesquero N°11-2026, 09 - 15 de marzo de 2026, Callao, Instituto del Mar del Perú. <https://siofen.imarpe.gob.pe/boletines-e-informes/BS-OBP>

Suscripciones: Complete [este formulario](#) o escriba al correo electrónico siofen@imarpe.gob.pe.

Consultas:

Servicio de Información Oceanográfica del Fenómeno El Niño, SIOFEN

Laboratorio de Hidrofísica Marina/AFIOF

Dirección General de Investigaciones Oceanográficas y Cambio Climático/Instituto del Mar del Perú

Esquina Gamarra y General Valle S/N, Chucuito, Callao - Perú. Teléfono: (51 1) 904 0137 (Extensión 824).

Foto en la portada: Mar peruano (©IMARPE)

© 2026 Instituto del Mar del Perú



IMARPE
INSTITUTO DEL MAR DEL PERÚ

SIOFEN SERVICIO DE INFORMACIÓN OCEANOGRÁFICA DEL FENÓMENO EL NIÑO



PERÚ

Ministerio
de la Producción



PREMIO 2018
BUENAS PRÁCTICAS
EN GESTIÓN PÚBLICA

